

信州大学 正員 ○草間 孝志  
 名古屋大学 正員 福本 勝士  
 名古屋大学 正員 成岡 昌夫

1 まえがき 構造物の設計に際して、その構造物が外力の増加とともに、どのような過程で、いかほどの荷重になつたとき最大荷重に達するかということと同時に、最大荷重に達した後の耐力の低下も、安全率の選択に関連して重要な問題である。一般に曲げと軸力（圧縮）とを同時にうける部材は、曲げのみをうける部材の場合と異なり、最大荷重後の耐力低下がいちじるしいことが予想されるが、鋼材のもつひずみ硬化の性質を考えるときには、この耐力低下はある程度緩和されるものと考えられる。そこで、本研究は、等偏心圧縮をうける長方形断面柱と工形断面柱について、荷重と変形との関係、ならびにひずみ硬化の影響を検討しようとしたものである。

計算にあたつては次の仮定を設けた。

- 1) 部材の応力-ひずみ曲線は図-1に従うものとする。
- 2) 変形は作用する曲げモーメントの面内にのみ生ずる。
- 3) 部材の断面は変形後も平面が保たれる。
- 4) せん断力の影響は考えない。
- 5) 部材がすでにうけた履歴は考えない。
- 6) 残直応力の影響は考えない。

## 2 荷重一変形曲線の数値計算

軸力  $P$  と曲げモーメント  $M$  をうけるある断面の垂直応力度分布の状態は、弾性、塑性、ひずみ硬化の各種組合せによって表わされ、これらの状態に対するつり合い条件式は、次式で示される。

$$P = \int_A b \sigma du, \quad M = \int_A b \sigma u du \quad (1)$$

上式を計算すると、各種の垂直応力度分布状態に対する  $M - \phi - P$  曲線、ならびに  $M$ 、 $P$  とひずみ分布の関係が得られる。一方、部材の長さ  $L$  を  $n$  等分した要素の長さを  $l$  とし、分割点を左端より順次  $0, 1, 2, \dots, i, \dots, n$  とする。図-2は変形した  $i$  番目の要素を図示したものである。この要素のたわみ曲線を円弧と仮定し、図示の記号を用いて、 $i$  点と  $i+1$  点との間には次式が成立す。

$$\theta_{i+1} = \theta_i - \phi_{il}, \quad y_{i+1} = y_i + \frac{l}{\phi_i} (\cos \theta_{i+1} - \cos \theta_i)$$

$$y_{i+1} = y_i + l \left[ \left( 1 - \frac{(\phi_{il})^2}{13} + \frac{(\phi_{il})^4}{15} - \dots \right) \sin \theta_i - \left( \frac{\phi_{il}}{12} - \frac{(\phi_{il})^3}{14} + \dots \right) \cos \theta_i \right]$$

$$i, i+1 \text{ 両の水平距離 } x_{i+1} \text{ は } x_{i+1} = \frac{l}{\phi_i} (\sin \theta_i - \sin \theta_{i+1})$$

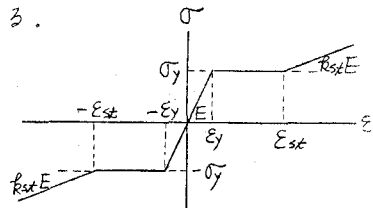


図-1

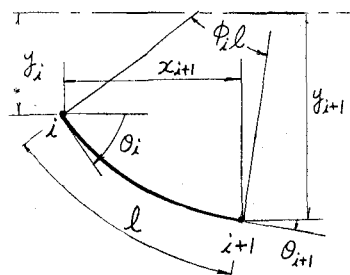


図-2

$$\left. \begin{aligned} & \theta_{i+1} = \theta_i - \phi_{il}, \quad y_{i+1} = y_i + \frac{l}{\phi_i} (\cos \theta_{i+1} - \cos \theta_i) \\ & y_{i+1} = y_i + l \left[ \left( 1 - \frac{(\phi_{il})^2}{13} + \frac{(\phi_{il})^4}{15} - \dots \right) \sin \theta_i - \left( \frac{\phi_{il}}{12} - \frac{(\phi_{il})^3}{14} + \dots \right) \cos \theta_i \right] \end{aligned} \right\} \quad (2)$$

$$\phi_i \text{が非常に小さい場合には } X_{i+1} = l \left[ \left( 1 - \frac{(\phi_i l)^2}{13} + \frac{(\phi_i l)^4}{15} - \dots \right) \cos \theta_i + \left( \frac{\phi_i l}{12} - \frac{(\phi_i l)^3}{14} + \dots \right) \sin \theta_i \right]$$

$i, i+1$  間の部材の縮み  $\Delta l_{i+1}$  は  $\Delta l_{i+1} = l \epsilon_q$  ( $\epsilon_q$ : 回心のひずみ)  
 $i+1$  真のモーメント  $M_{i+1} = M_i + P(y_{i+1} - y_i) + Q_i X_{i+1}$

式 (2) は  $i+1$  の変形と断面力より  $i+1$  真の変形と断面力を求めろ式である。図-3 に示すように、両端にモーメントと軸力をうけ、両端の相対変位  $\delta$  が既知なはりと考える。端モーメント  $M_A, M_B$  は偏心によるモーメントを含むものとする。部材の縮みは  $L$  に比し微小であるから、 $Q_A, Q_B$  はモーメントのつり合いより  $Q_A = Q_B = (M_A + M_B + P\delta)/L$  より求められる。もし、部材の縮みの  $Q_A, Q_B$  に与えられた影響をも考慮したいたいときには、上式によって得られる  $Q_A, Q_B$  を近似値として用発すればよい。図-3 の場合の荷重-変形曲線を求めためには、まず、A 端の  $\theta_A$  を与え、軸力  $P$  を仮定する。この  $P$  と  $M_A$  の値によって、A 真の垂直応力度状態と曲率半径  $\rho$  が式 (1) より試算法によって決定することができる。A 真におけるのは  $\theta_A$  であることを考慮し、 $\rho_A$  を用いて式 (2) を計算すると、1 真の  $\theta_1, y_1, M_1$  が求められる。 $M_1$  が求まると、式 (1) より  $\rho_1$  が得られ、次の区間に進むと、さきと同様にして、 $\theta_2, y_2, M_2$  が求まる ( $\theta_1$  の区間より  $\theta_2$  の区間に進む前に  $\rho_1$  の値を  $(\rho_1 + \rho_2)/2$  を用いて計算を再び繰り返すと、さらによい結果が得られる)。このようにして順次計算を行なつていくと、最後に  $B$  真のたわみ  $y_B$  が求められる。そして、この  $y_B$  が最初に与えた  $\delta$  に一致しない場合には、軸力  $P$  を仮定しなおして、再び A 真より計算を繰り返し、 $y_B$  がある誤差範囲内で  $\delta$  に一致するまで行なう。このようにして得られた  $P$  の値が A 真の回転角  $\theta_A$ 、A B 真の相対変位  $\delta$  の状態につけ合う荷重である。A B 真の見かけの縮み  $\Delta$  は部材の曲がりによる縮み  $\Delta_f$  とひずみによる縮み  $\Delta_c$  の和で与えられる。

$$\Delta = \Delta_f + \Delta_c$$

$$\text{ここに, } \Delta_f = L - \sum_i x_i$$

$$\Delta_c = \sum_i \Delta l_i$$

さらに、部材の変形のみならず、式 (1) によって得られる  $M, P$  と断面内のひずみ分布より、荷重と塑性域とひずみ硬化域のひろがりを求めることができる。この方法による数値計算の精度を検討するため、座屈後の弾性変形を取り扱った大たわみ理論による Elastica の問題に適用するヒ、図-4を得る。図中の実線は厳密解であり、プロットした点は、材長を 5 等分して計算した場合である。かなり大きな変形 (プロットの最大値は  $\theta = 176^\circ$ ) まで、比較的よく合うことが分った。そこで、以下等偏心圧縮柱に対し、材長の  $1/2$  を 5 等分して計算を行なつた。

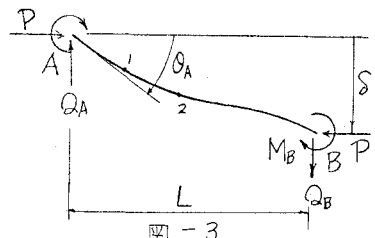


図-3

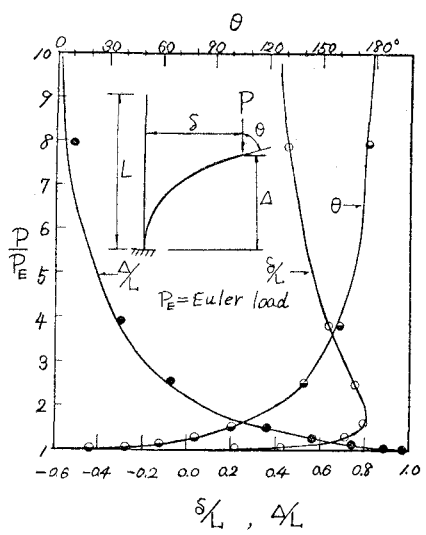


図-4

3 等偏心圧縮柱の弾性安定線と塑性崩壊線 前述の方法は荷重一変形形状を正確に求めることができるが、その一般的傾向を知るためにには、弾性安定線と塑性能壊線によるのが便利である。等偏心圧縮柱の場合極半径  $s$  と  $\lambda$  を用いて無次元化すると、弾性安定線は次のように得られる。

$$\frac{P}{P_y} = \frac{\pi^2 \frac{y_m}{s}}{\varepsilon_y \lambda^2 \frac{4e}{L} + \frac{y_m}{s}}, \quad \frac{P}{P_y} = \frac{\pi^2 \theta_0}{\varepsilon_y \lambda^2 \frac{4e}{L} + \theta_0}, \quad \frac{P}{P_y} = \frac{1}{\varepsilon_y} \frac{\Delta}{L}$$

ここに、 $\lambda$  = 細長比、 $e$  = 偏心量、 $y_m$  = 中央点のたわみ、 $\theta_0$  = 扱端回転角、 $\Delta$  = 枝の縮みである。

次に、材料を剛一ひずみ硬化性と仮定して、M-M-P 曲線を求め、等偏心圧縮柱に適用すると、ひずみ硬化を考慮したときの塑性崩壊線を求めることができる。図-5 の記号を用い、

$$K = 1 - 2 \frac{d}{h}, \quad k_i = (1 - \frac{w}{b}) K^i, \quad i = 1, 2, 3, \quad f = \frac{3}{2} \cdot \frac{1 - k_3}{1 - k_1}$$

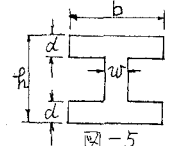


図-5

とおき、たわみ曲線を  $y = y_m \cdot \sin(\pi x / L)$  と仮定すると、塑性崩壊線は

a) ウエッジ内に中立軸がある場合 ( $P/P_y < \frac{K}{1 - k_1} \gamma_1$ )

$$\frac{P}{P_y} = \frac{2\pi f}{\varepsilon_y} \left[ -\gamma_1 s + \sqrt{\gamma_1^2 s^2 + K \left( f + \frac{R_{st} \pi^2}{\varepsilon_y \lambda^2} \cdot \frac{y_m}{s} \right)} \right]$$

$$\text{ここで } s = \frac{e}{s} + \frac{y_m}{s}, \quad \gamma_1 = 1 - \frac{k_1}{K} + (1 - k_1) \frac{R_{st} \pi^2}{\varepsilon_y \lambda^2} \frac{y_m}{s}, \\ K = \frac{6(1 - k_1)(1 - k_3)^2}{1 - k_3} \quad \text{である。}$$

b) フランジ内に中立軸がある場合 ( $P/P_y > \frac{K}{1 - k_1} \gamma_1$ )

$$\frac{P}{P_y} = \frac{1}{(1 - k_1)^2} \left[ -\zeta + \sqrt{\zeta^2 + (1 - k_1)^2 (\gamma_1^2 f - k_1^2)} \right]$$

$$\zeta = 1, \quad \gamma_1 = \left\{ 1 + R_{st}(1 - k_1) \frac{\pi^2}{\varepsilon_y \lambda^2} \frac{y_m}{s} \right\}^{1/2} \\ f = 1 + \frac{2}{3} (1 - k_3) \frac{R_{st} \pi^2}{\varepsilon_y \lambda^2} \frac{y_m}{s}, \quad \zeta = k_1(1 - k_1) + \frac{1}{3} (1 - k_3) \gamma_1^2 s$$

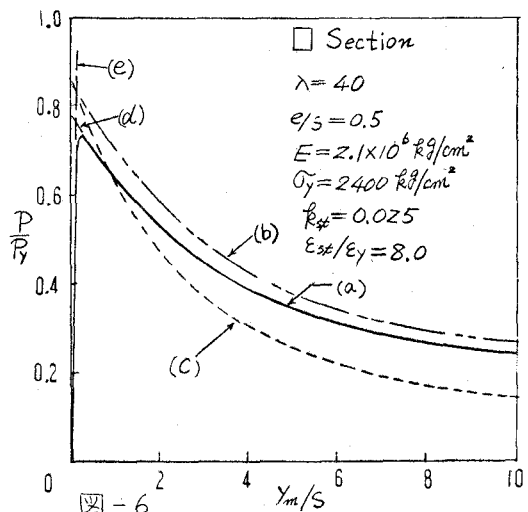
となる。そして、扱端回転角  $\theta_0$ 、曲がりによる見かけの縮み  $\Delta_f$ 、ひずみによる縮み  $\Delta_c$  は、

$$\theta_0 = \frac{\pi s}{L} \frac{y_m}{s}, \quad \Delta_f = \frac{1}{\lambda} \int \left( \frac{dy}{dx} \right)^2 dx = \frac{\pi^2}{4} \left( \frac{s}{L} \right)^2 \left( \frac{y_m}{s} \right)^2, \quad \Delta_c = (\varepsilon_g)_m L = \frac{\pi^2}{\lambda^2} \frac{\frac{y_m}{s} P}{1 + \frac{R_{st} \pi^2}{\varepsilon_y \lambda^2} \frac{y_m}{s}}$$

より、 $y_m/s$  を媒介変数として、それぞれ求めることができる。図-6 は計算結果の一例である。曲線 (a) は式 (2) を用いて計算したものであり、(b) は弾性安定線、(c) は塑性崩壊線でひずみ硬化を考慮したもの、(d) は塑性崩壊線でひずみ硬化を無視したものである。図より明らかのように、一般に上限値を示すと云われている(c) 曲線は、かららずとも上限値を示すものではない。ひずみ硬化を考慮した(b) 曲線は明らかに上限値を示すものであり、さらに、(a) と (b) の曲線が同じ傾向を示していることは興味深い。曲線 (a) は曲線 (b) の  $P/P_y$  に  $0.9$  を乗じたものであって、ほとんどの精解に近い。

4 実験ならびに考察 実験に用いた材料は SS41 であり、試験の結果、 $E = 2.1 \times 10^6 \text{ kg/cm}^2$ 、 $\sigma_y = 2400 \text{ kg/cm}^2$ 、 $\varepsilon_{st}/\varepsilon_y = 8.0$ 、 $R_{st} = 0.025$  を得た。実験は長方形断面 ( $25 \times 50$ ) と工形断面 ( $b=25, h=25, d=5, w=3$ ) の 2 種類に対し

□断面は弱軸に、工断面は強軸に偏心を与えて行った。なお、扱端にはローラー支承を用いた(写真-1)。実験結果の一部を図-7~10 に示した。



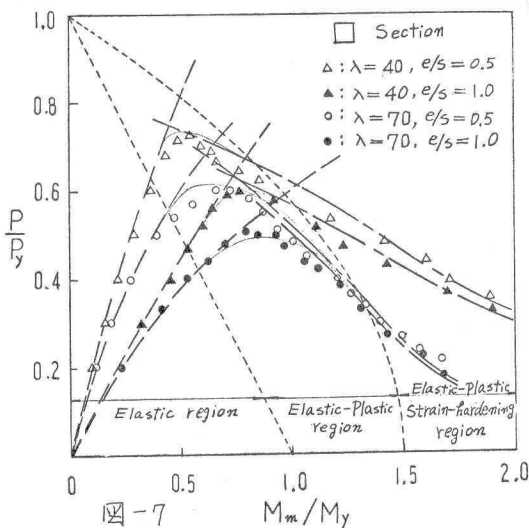


図-7

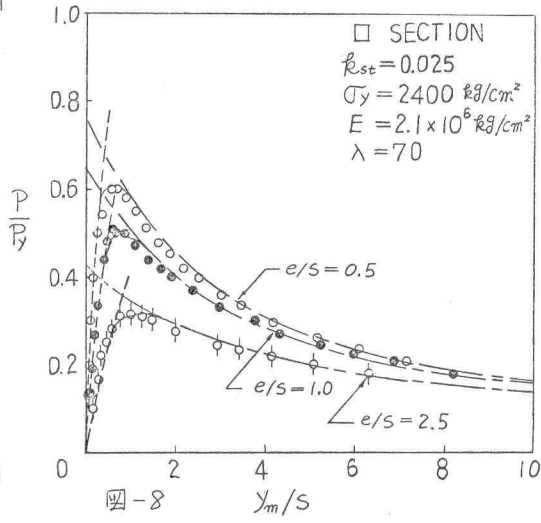


図-8

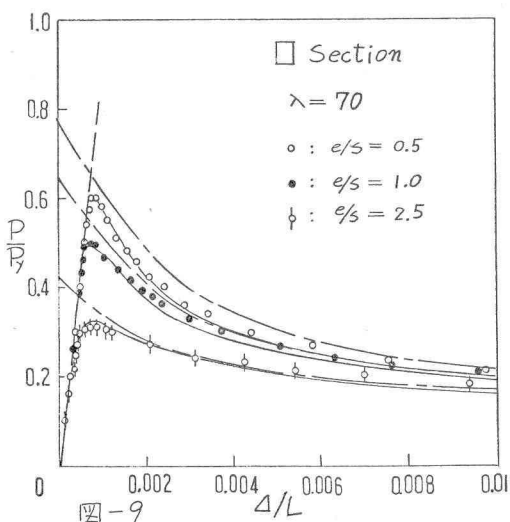


図-9

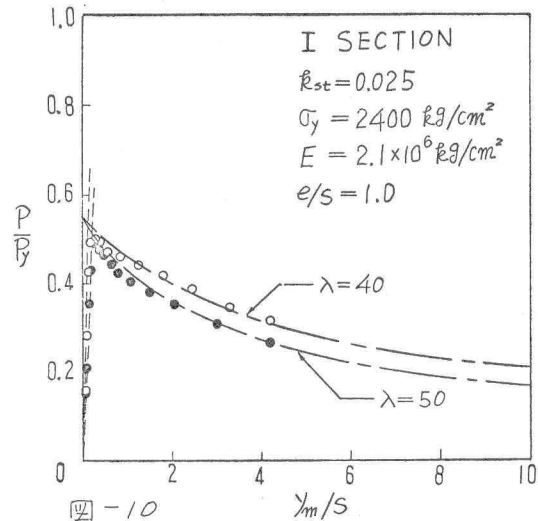


図-10

図中の鉛線は弾性安定線であり、一実鉛線はひずみ硬化を考慮したとき塑性崩壊線の  $P_{yB}$  に 0.9 を乗じたものと示してある。

等偏心圧縮をうける柱に対し、結論として次のことが云える。

- 1) SS41クラスの材料で、細長比が約20より大きな場合には、最大荷重にひずみ硬化の影響はない。
- 2) 細長比の小さい部材ほど、最大荷重後ひずみ硬化の影響が早くあらわれ、後つて、荷重の低減が少ない。
- 3) 最大荷重後の荷重変形性状は、ひずみ硬化を考慮した塑性崩壊線によって得られる荷重に 0.9 を乗じると、比較的よく一致する。
- 4) 部材の見かけの縮みは最大荷重を過ぎると急激に増大する。これは部材の曲がりによる縮みが増大するためであつて、これに比し、ひずみによる縮みの増加は小さい。本研究は、草間が文部省内地研究員として、名古屋大学成用教授、福本助教授に御指導を戴いたもの一部である。

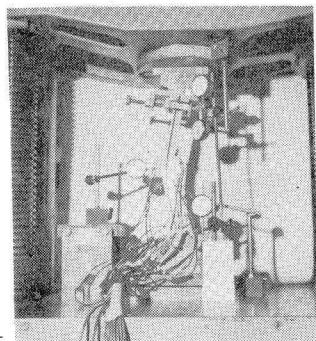


写真-1